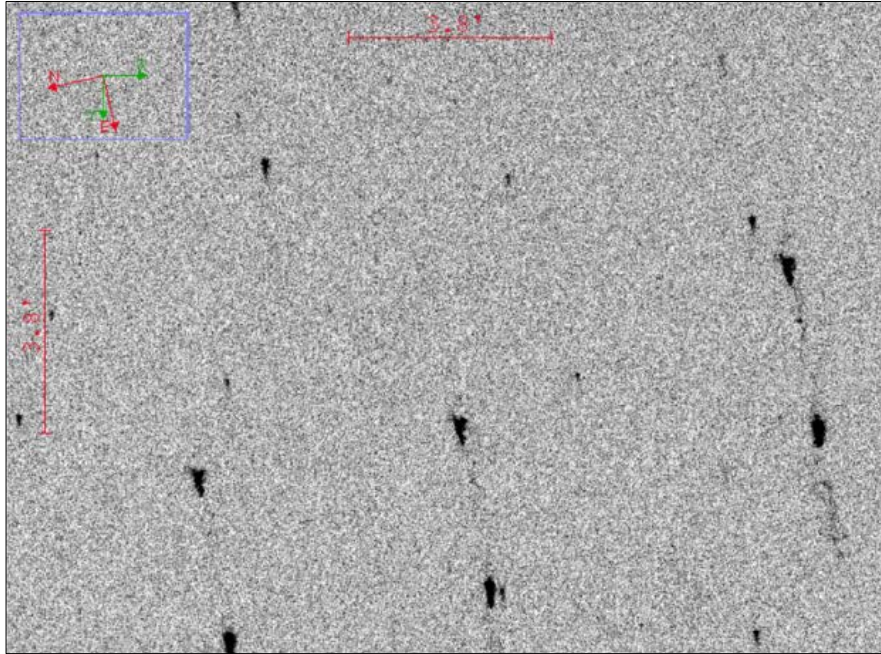
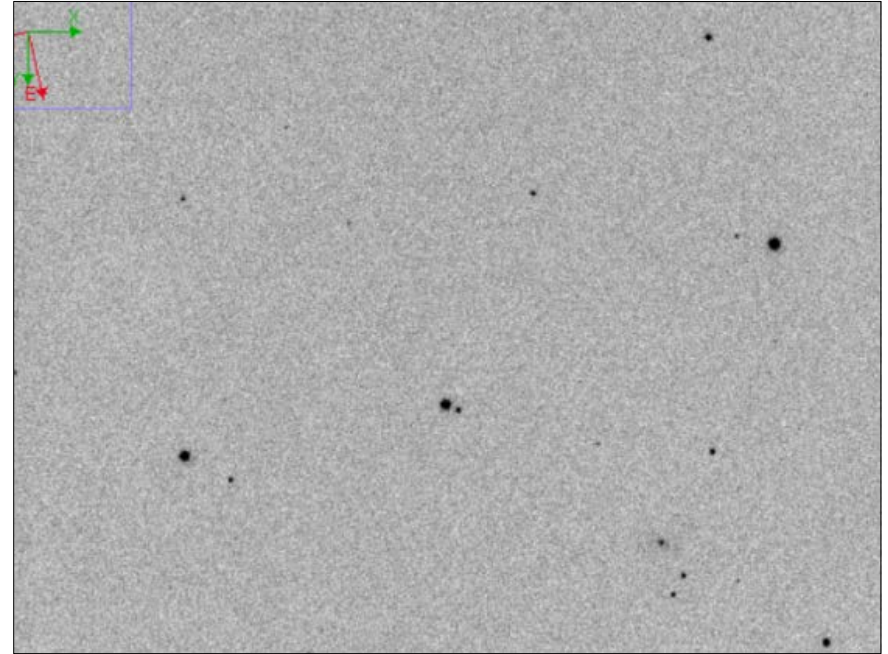


*Figura 1. Esquerda: TUGA Control – software de controle desenvolvido para melhorar a performance do sistema óptico. Centro: montagem iOptron CEM-60. Direita: detalhe do hardware de controle de temperatura baseado em Arduino e câmera CCD ATIK 414Ex.*



*Figura 2. Exemplo de imagem com defeito visual.*



*Figura 3. Galáxia NGC 73.*

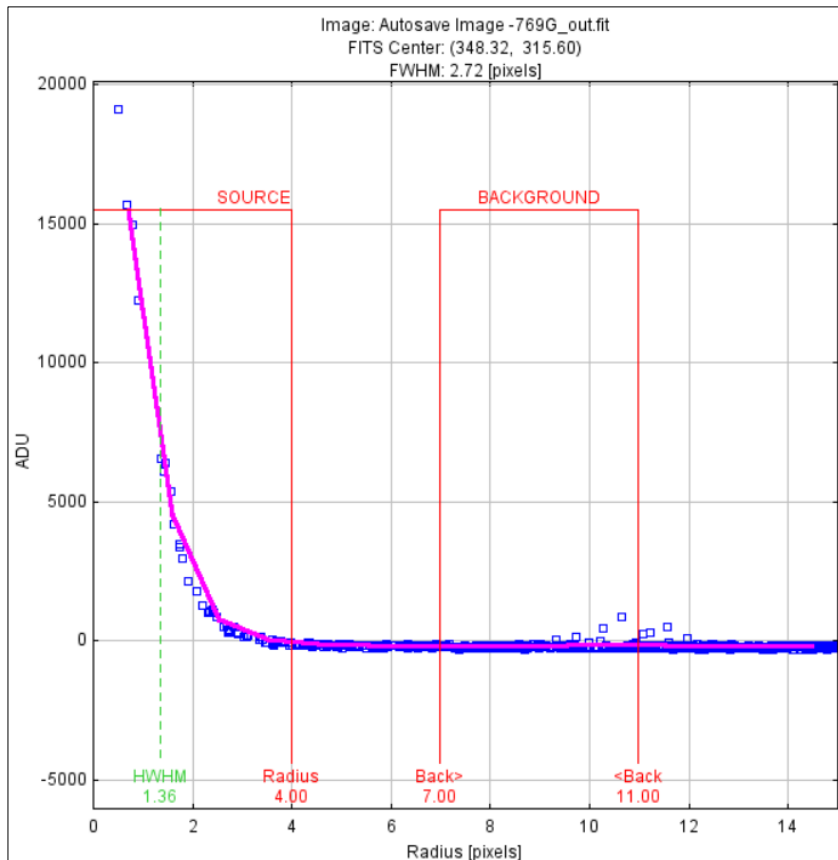


Figura 4. Seeing Profile – Parâmetros do fotômetro sugeridos para o objeto WASP-26b.

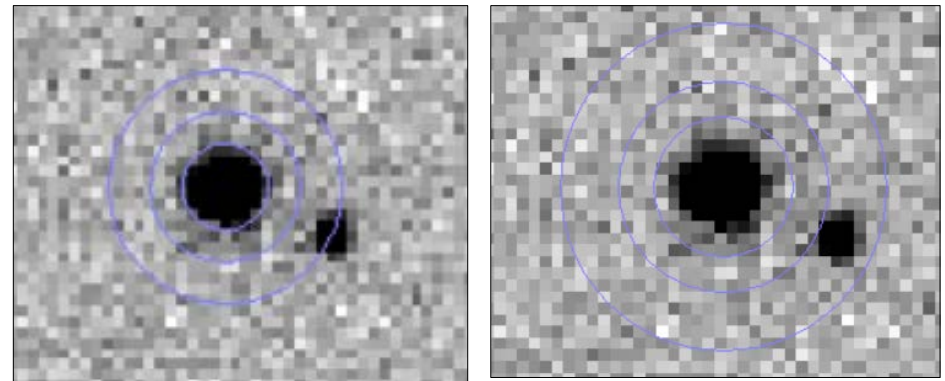


Figura 5 – Diferença entre os aros do fotômetro. Em cima, utilizando o padrão predefinido pelo AIJ, percebe-se que parte da estrela ultrapassa a delimitação do aro interno do fotômetro. Em baixo, com os novos valores adotados.

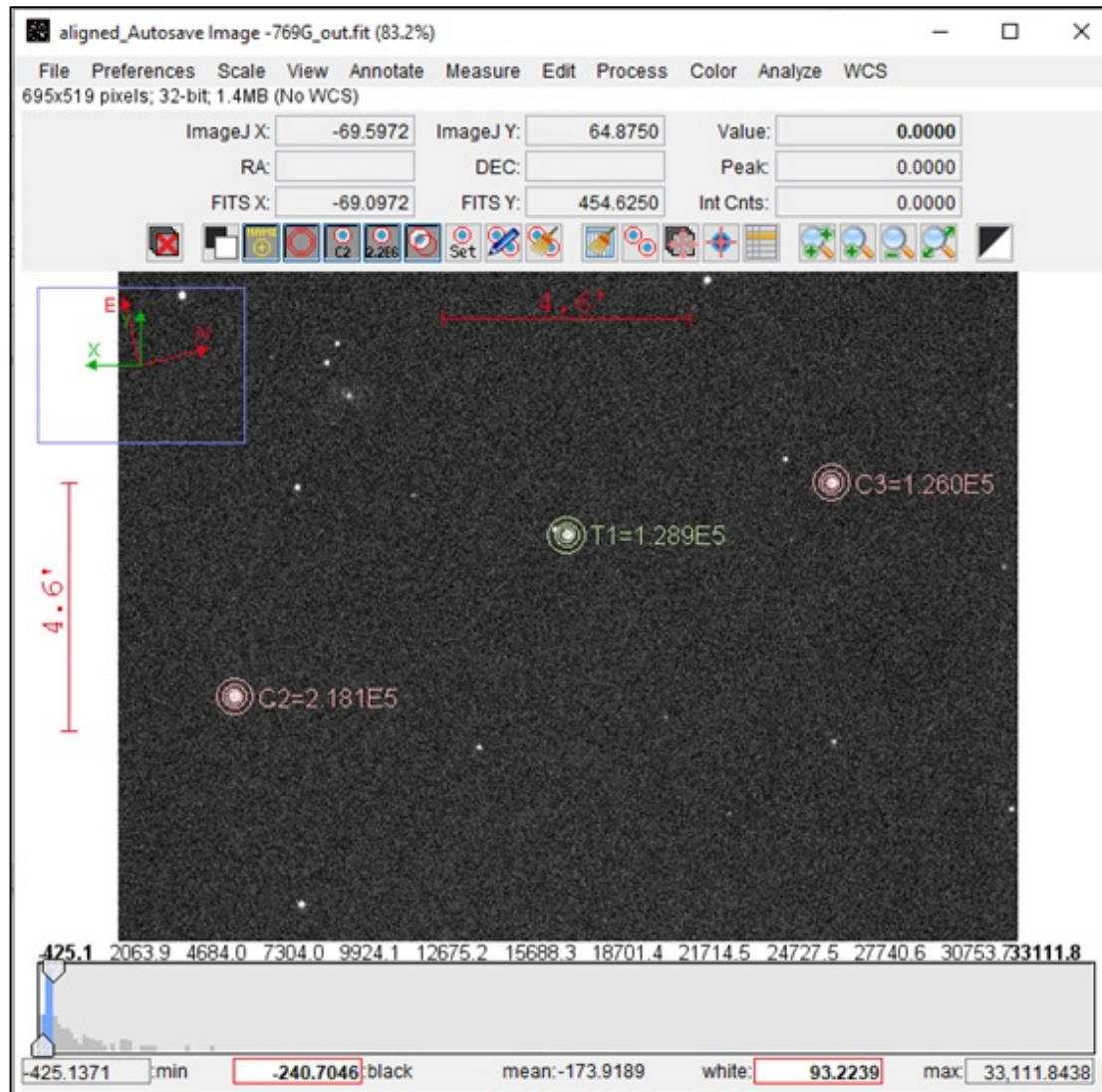


Figura 6. Estrelas de comparação para fotometria diferencial do objeto WASP-26 b. Em verde, a estrela-alvo.

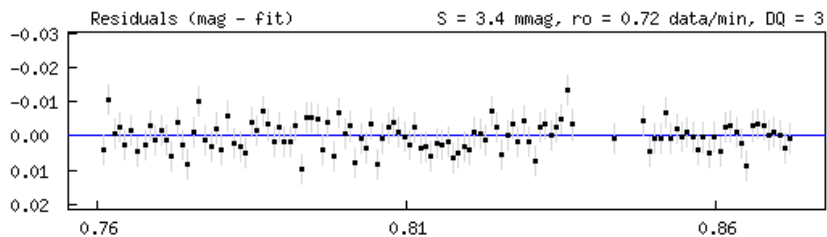


Figura 7. Análise residual para cálculo da dispersão  $S$  (ETD, 2019).

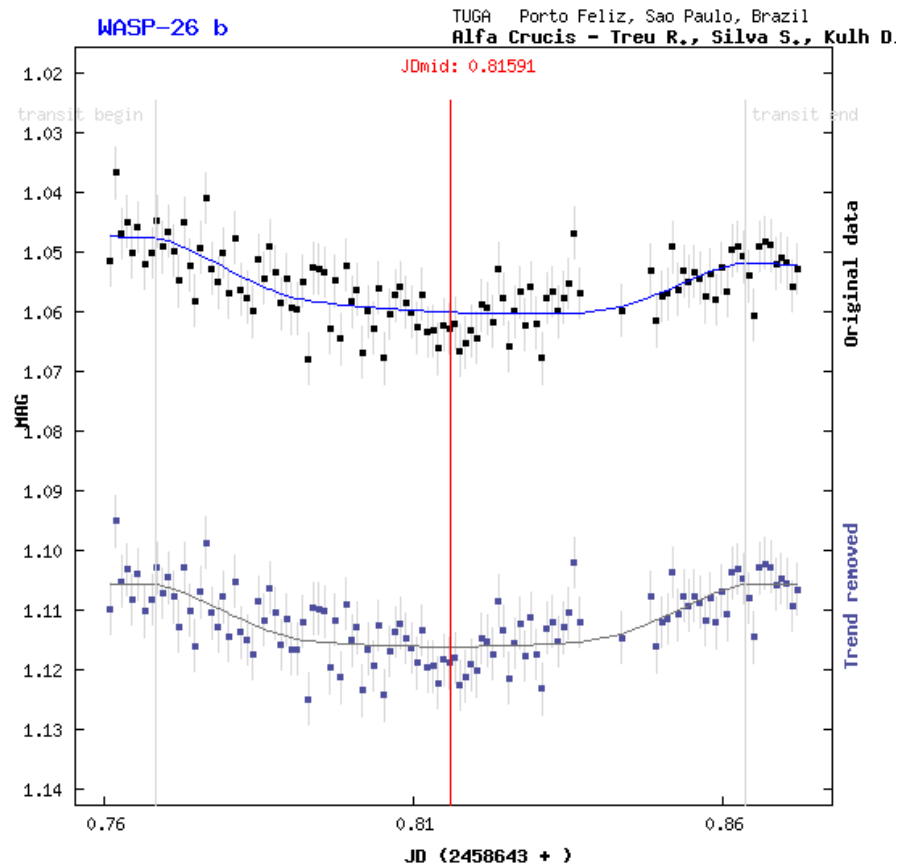


Figura 8. Em cima: Curva de luz ajustada aos dados originais. Embaixo: Curva de luz ajustada aos dados com a tendência removida (ETD, 2019).

Mid transit JDmid:	2458643.81688 +/- 0.0022	
Mid transit HJDmid:	2458643.81591 +/- 0.0022	(helcor = -0.00097)
Mid transit - UTC:	2019-06-09 07:36:18	
Transit duration:	137.1 +/- 7.8	minut
Transit depth:	0.0103 +/- 0.0011	mag
Submitted data: heliocentric based on UTC		

Figura 9. Parâmetros obtidos através do protocolo de ajuste do modelo da curva de luz do trânsito aos nossos dados (ETD, 2019).

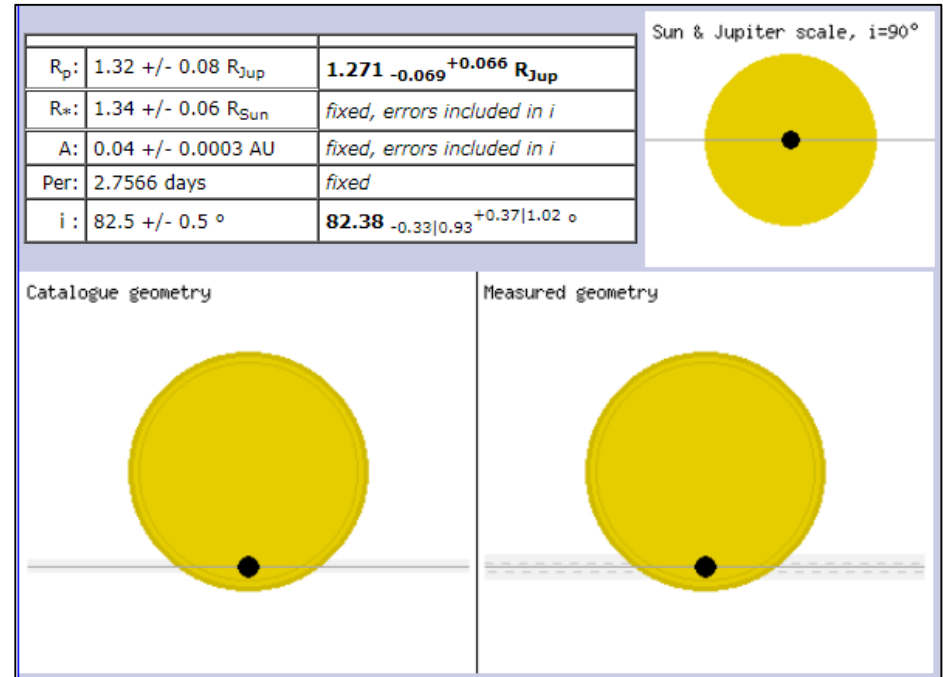


Figura 10. Quadro superior: Resultados astrofísicos derivados do processo de ajuste. Imagens: Comparação gráfica das geometrias do Sol, Júpiter e do sistema medido neste trabalho (ETD, 2019).